

## ОБ «ОТРИЦАТЕЛЬНОЙ НЕПАРАБОЛИЧНОСТИ» ВАЛЕНТНОЙ ЗОНЫ СУПЕРИОННОГО ПРОВОДНИКА $\text{Cu}_{2-x}\text{Se}$

© М.А.Коржев, А.В.Лаптев

Институт metallургия им А.А.Байкова Российской академии наук,  
117911 Москва, Россия

(Получена 19 апреля 1995 г. Принята к печати 28 ноября 1995 г.)

Анализируются концентрационные зависимости эффективных масс проводимости  $m_c$  и плотности состояний  $n_d$  дырок в суперионном проводнике  $\text{Cu}_{2-x}\text{Se}$ . Показано, что наблюдавшаяся ранее Горбачевым и Путилиным (1973 г.) аномальная «отрицательная непараболическая» зависимость  $m_c$  от концентрации дырок  $p$  ( $dm_c/dp < 0$ ) не связана со структурой валентной зоны соединения, а объясняется фазовым превращением  $\alpha \rightarrow \alpha + \beta \rightarrow \beta \rightarrow \beta + \text{Cu}_3\text{Se}_2$ , происходящим в образцах при комнатной температуре.

Суперионные проводники (СИП) (твердые электролиты) являются сильно разупорядоченными материалами, сочетающими свойства твердых и жидких фаз [1,2]. Соответственно такие основные понятия физики твердого тела, как фононы, энергетические зоны, зоны Брилюэна и т. п., должны применяться к СИП с достаточной степенью осторожности [1].

Нестехиометрический селенид меди  $\text{Cu}_{2-x}\text{Se}$  представляет собой СИП со смешанной электронной (по «дыркам») и ионной (по меди) проводимостью [3–6].  $\text{Cu}_{2-x}\text{Se}$  кристаллизуется с отклонением от стехиометрии в сторону селена, что создает большое количество вакансий в катионной подрешетке и определяет  $p$ -тип проводимости материала [4]. При комнатной температуре с ростом  $x$  сплавы  $\text{Cu}_{2-x}\text{Se}$  испытывают полиморфные переходы  $\alpha \rightarrow \alpha + \beta \rightarrow \beta$  ( $\alpha$  — Cm,  $\beta$  — F43m [6]), при нагреве все образцы переходят в высокотемпературную  $\beta$ -фазу, обладающую суперионной проводимостью по меди (рис. 1) [7].

Сильная разупорядоченность катионной подрешетки ведет к низкой подвижности дырок  $\mu \sim 10 \text{ см}^2/\text{В} \cdot \text{с}$ , так что кинетические эффекты в  $\text{Cu}_{2-x}\text{Se}$  могут развиваться при условии  $\lambda \rightarrow a$  (где  $\lambda$  — средняя длина свободного пробега носителей тока,  $a$  — межатомное расстояние) [8,9]. При  $\lambda \rightarrow a$  кинетическое уравнение Больцмана больше неприменимо, а использование соотношений зонной теории наталкивается на трудности, связанные с действием принципа неопределенности Гейзенberга

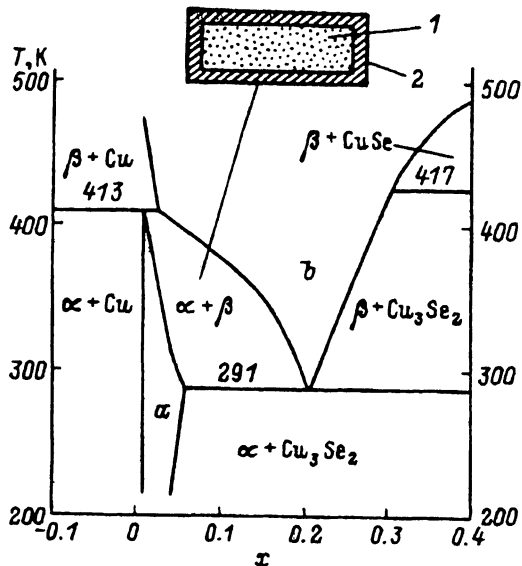


Рис. 1. Часть  $T$  –  $x$ -диаграммы состояния системы  $\text{Cu}-\text{Se}$  вблизи  $\text{Cu}_{2-x}\text{Se}$  и предполагаемое распределение фаз по образцу в двухфазной области ( $\alpha + \beta$ ). 1 — ( $\alpha + \beta$ )-фазы; 2 —  $\beta$ -фаза.

$\Delta E \sim \hbar/\tau$ , где  $\Delta E$  — неопределенность энергии,  $\hbar = h/2\pi$  — постоянная Планка,  $\tau$  — время релаксации носителей заряда [10–12]. При  $\Delta E/E_F \gtrsim 1$  (здесь  $E_F$  — энергия Ферми) понятие поверхности Ферми материала теряет смысл [10], при  $\Delta E/W \gtrsim 1$  (здесь  $2W$  — ширина зоны) становится неопределенным понятие энергетической зоны [11].

Параметры  $\Delta E/E_F$  и  $\Delta E/W$  для  $\text{Cu}_{2-x}\text{Se}$  оценивали в [13, 14]. Установлено, что соотношение  $\Delta E/W \ll 1$  выполняется в  $\text{Cu}_{2-x}\text{Se}$  вплоть до самых высоких температур, многоэллипсоидальность зонной структуры при этом также сохраняется, на что указывает соотношение  $m_c < m_d$  (здесь  $m_c$  и  $m_d$  — эффективные массы проводимости и плотности состояний соответственно) [14], однако поверхность Ферми  $\text{Cu}_{2-x}\text{Se}$  оказывается размытой уже при комнатной температуре ( $\Delta E > E_F$ ) [13].

С переходом  $\lambda \rightarrow a$  ранее связывали низкие значения холловского фактора  $A$  в  $\text{Cu}_{2-x}\text{Se}$  [14], однако ряд других характеристик материала не имеют в настоящее время четкого и убедительного толкования. К ним относится эффект аномальной «отрицательной непарараболичности» валентной зоны  $\text{Cu}_{2-x}\text{Se}$  ( $dm/dp < 0$ , здесь  $p$  — концентрация дырок) (обычно в полупроводниках  $dm/dp \geq 0$ ), наблюдавшийся ранее на зависимостях эффективной массы проводимости («оптической»)  $m_c = f(p)$  при  $p < 1 \cdot 10^{21} \text{ см}^{-3}$  (рис. 2, кривая 4) [15] и эффективной массы плотности состояний  $m_d = f(P)$  при  $p > 1 \cdot 10^{21} \text{ см}^{-3}$  (кривая 1) [16] и предположительно связанный со сложной формой поверхности Ферми  $\text{Cu}_{2-x}\text{Se}$  [14, 16].

Поскольку величины  $m_d$  и  $m_c$  связаны соотношением [19]

$$m_d/m_c = 1/3(N/K)^{2/3}(2K + 1), \quad (1)$$

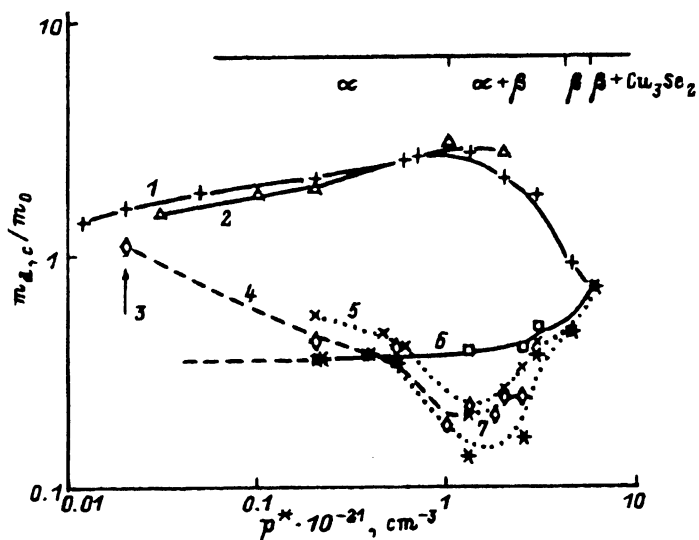


Рис. 2. Зависимости эффективных масс  $m_d/m_0$  (1, 2) и  $m_c/m_0$  (3-7) от холловской концентрации носителей тока  $p^*$  в  $\text{Cu}_{2-x}\text{Se}$  ( $T = 300$  К). 2 — [17], 3 — [18], 4 — [15], 5 — [14].

(здесь  $N$  — число эквивалентных эллипсоидов вращения в зоне,  $K = m_l/m_t$ ,  $m_l$  и  $m_t$  — поперечная и продольная составляющие эффективной массы отдельного эллипсоида), их рассогласованное изменение (рис. 2) трудно объяснить в рамках зонной теории, тем более для размытой поверхности Ферми, где эффекты формы поверхности Ферми отсутствуют.

Цель настоящей работы — выяснить природу отрицательной непараболичности валентной зоны  $\text{Cu}_{2-x}\text{Se}$ , для чего концентрационные зависимости  $m_c$  и  $m_d$  были измерены заново. Найдено, что отрицательная непараболичность  $m_c$  (при  $p < 1 \cdot 10^{21} \text{ см}^{-3}$ ) [16] представляется собой кажущийся эффект, связанный с поверхностным  $\beta$ -составлением образцов  $\text{Cu}_{2-x}\text{Se}$ , лежащих в двухфазной области ( $\alpha+\beta$ ) ( $x = 0.05-0.2$ ). Отрицательная непараболичность  $m_c$  (при  $p > 1 \cdot 10^{21} \text{ см}^{-3}$ ) [16] связывается в работе с «округлением» поверхности Ферми и уменьшением вклада многоэллипсоидальности при увеличении концентрации носителей тока в образцах.

### Эксперимент

Поликристаллические образцы  $\text{Cu}_{2-x}\text{Se}$  ( $x = 0-0.3$ ) (см. таблицу) получали методом ампульного синтеза [7]. Концентрацию носителей тока в образцах  $\text{Cu}_{2-x}\text{Se}$  ( $p^* = 1 \cdot 10^{19}-6 \cdot 10^{21} \text{ см}^{-3}$ ) изменяли за счет изменения состава ( $x$ ). Холловскую концентрацию дырок  $p^* = 1/Re$  измеряли в магнитном поле 10 кГ на переменном токе (0.1 А, 120 Гц) с точностью  $\sim 5\%$ . Коэффициент отражения  $R$  измеряли на ИК Фурье-спектрометре IFS 88 фирмы Brüker в диапазоне длин волн  $\lambda = 0.5-10 \text{ мкм}$  при падении света с круговой поляризацией, близком к нормальному ( $\sim 11$  угловых градусов). Перед началом измерений

**Некоторые кинетические характеристики и плазменные частоты исследованных образцов Cu<sub>2-x</sub>Se**

| <i>x</i> | Фазовый состав                   | Концентрация дырок, $p^*/p$<br>(10 <sup>20</sup> см <sup>-3</sup> ) | Холловская подвижность, $\mu^* = R\sigma$<br>(см <sup>2</sup> /В · с) | Плазменная частота, $\omega_{min}$<br>(см <sup>-1</sup> ) | Коэффициент поглощения $\gamma$<br>(см <sup>-1</sup> ) | Оптическая масса дырок<br>$m_c/m_0$ |
|----------|----------------------------------|---|---|---|--|-------------------------------------|
| 0.007    | $\alpha$                         | 2.1/1.4   | 12.0  | 2460  | 2210   | 0.35                                |
| 0.015    | $\alpha$                         | 3.8/3.0   | 11.5  | 3500  | 2200   | 0.37                                |
| 0.02     | $\alpha$                         | 5.4/4.0   | 11.6  | 3800  | 2380   | 0.34                                |
| 0.05     | $\alpha + \beta$                 | 13/10   | 11.0  | 8430  | 5320   | 0.13                                |
| 0.10     | $\alpha + \beta$                 | 27/20   | 10.1  | 9000  | 1930*  | 0.38*                               |
| 0.15     | $\alpha + \beta$                 | 31/30   | 10.0  | 8500  | 5850   | 0.16                                |
| 0.23     | $\beta$                          | 47/46   | 10.0  | 8700  | 2140*  | 0.39*                               |
| 0.3      | $\beta + \text{Cu}_3\text{Se}_2$ | 56/60   | 9   | 8100  | 2530   | 0.37                                |
|          |                                  |   |   |   | 1630*  | 0.48*                               |
|          |                                  |   |   |   | 2420   | 0.47                                |
|          |                                  |   |   |   | 1400   | 0.74                                |

*Примечание.* \* Для вычислений использовали предельное значение концентрации дырок в двухфазной области ( $\alpha + \beta$ )  $p = 4 \cdot 10^{21}$  см<sup>-3</sup>.

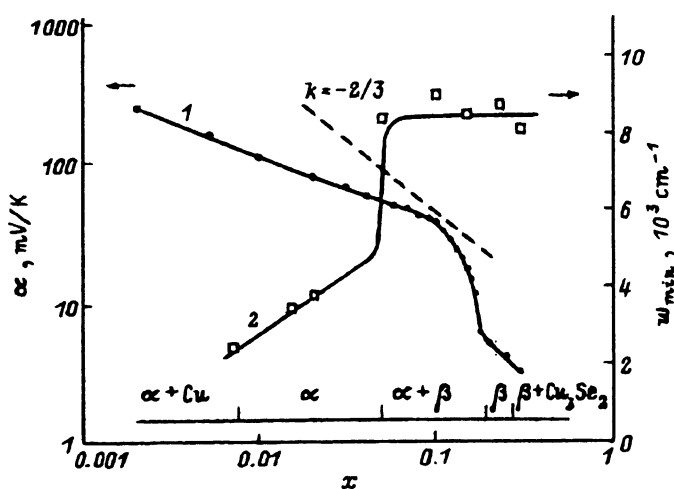


Рис. 3. Зависимости термоэдс  $\alpha$  (1) и частоты плазменного минимума  $w_{\min}$  (2) от состава  $x$  образцов  $\text{Cu}_{2-x}\text{Se}$  ( $T = 300$  К).

поверхность образцов шлифовали до зеркального блеска с помощью водной суспензии окиси хрома.

Величину  $t_c$  определяли из спектров ИК отражения в области плазменного минимума [19]. Плазменные минимумы отражения наблюдали в диапазоне длин волн  $\lambda = 1-5$  мкм, глубина и положение минимумов изменялись в зависимости от состава сплавов. Величину  $t_d$  находили методом термоэдс из измеренных значений термоэдс  $\alpha$  и концентрации носителей тока  $p = A/Re$  рассчитанной исходя из состава сплавов в предположении, что каждая нестехиометрическая вакансия меди дает одну дырку в валентную зону соединения [7].

### Экспериментальные результаты и их обсуждение

Полученные значения  $w_{\min}$  (см. таблицу) и  $\alpha$  (рис. 3) были близки к данным [15, 16]. По расположению  $w_{\min}$  все исследованные образцы распадались на две группы с  $w_{\min} < 3800 \text{ см}^{-1}$  (I) и  $w_{\min} = 8000-9000 \text{ см}^{-1}$  (II). В интервале частот  $w = 3800-8000 \text{ см}^{-1}$  минимумы плазменного отражения не наблюдались.

*Эффективная масса проводимости  $t_c$ .* Низкая подвижность дырок в образцах (см. таблицу) ведет к соотношению  $w_{\min} < w_p$ , где

$$w_p^2 = 4\pi pe^2 / t_c \epsilon_\infty \quad (2)$$

— истинная объемная плазменная частота носителей тока с концентрацией  $p$  и эффективной массой  $t_c$  [19]. Величину  $w_p$  и  $t_c$  находили путем сравнения экспериментальных и расчетных спектров отражения. Для нормального падения коэффициент отражения дается соотношением [19]

$$R = \frac{(n-1)^2 + k^2}{(n+1)^2 + k^2}, \quad (3)$$

где  $n$  и  $k$  — коэффициенты преломления и отражения определяли из комплексной диэлектрической функции

$$\varepsilon = (n + ik)^2 = \varepsilon_\infty \left( 1 - \frac{w_p^2}{w(w + i\gamma)} + \frac{w_L^2 - w_T^2}{w_L^2 - w_T^2 - i\Gamma w} \right) \quad (4)$$

путем решения уравнений

$$\varepsilon_1 = \operatorname{Re} \varepsilon = n^2 - k^2, \quad (5)$$

$$\varepsilon_2 = \operatorname{Im} \varepsilon = 2nk, \quad (6)$$

где  $w$  — частота или волновое число ( $w$  (в рад/с)/ $2\pi c = w$  (в см $^{-1}$ ) соответственно,  $c$  — скорость света),  $\varepsilon_\infty$  — высокочастотная диэлектрическая постоянная,  $w_L$  и  $w_T$  — частоты продольных и поперечных оптических фононов,  $\Gamma$  — коэффициент затухания фононов,  $\gamma = 1/\langle\tau\rangle = e/2\pi m_c \mu c$  — коэффициент поглощения носителей тока,  $\langle\tau\rangle$  — усредненное время релаксации. Значения  $\gamma$  определяли из величины  $\mu$  (см. таблицу),  $\varepsilon_\infty = 11.6$  — из высокочастотных участков экспериментальных спектров отражения,  $w_L = 2000$  см $^{-1}$ ,  $w_T = 1000$  см $^{-1}$  и  $\Gamma \sim 50-100$  см $^{-1}$  — путем подгонки расчетных спектров отражения к экспериментальным. Последние параметры учитывали плазмон-фононное взаимодействие в системе [19].

В результате была получена зависимость  $m_c = f(p^*)$  (рис. 2, кривая 7), близкая к соответствующим зависимостям, полученным тем же методом без учета плазмон-фононного взаимодействия ( $w_L = w_T = \Gamma = 0$ ) (кривая 3) [13] и методом Лайдена [14, 20] (кривая 5). Из таблицы следует, что участок с  $dm/dp < 0$  на кривой 7 при  $p^* = 0.2-2 \cdot 10^{21}$  см $^{-3}$  связан с резким возрастанием частоты  $w_{\min}$  при  $x = 0.05$  и ее последующим постоянством при  $x = 0.05-0.3$ .

Выполнение соотношения  $w_{\min}(p) = \text{const}$  наблюдали ранее в высокотемпературных сверхпроводниках (ВТСП), в случае узкой зоны ( $W \sim k_0 T$ , здесь  $2W$  — ширина зоны,  $k_0$  — постоянная Больцмана,  $T$  — абсолютная температура). В этом случае фермиевское размытие охватывает значительную часть зоны, и в процессах переноса одновременно участвуют электроны с положительной  $n_+$  (в нижней части зоны) и отрицательной  $n_-$  (в верхней части зоны) эффективной массой, которые ускоряются под воздействием электрического поля в противоположных направлениях. Соответственно дипольный момент единицы объема вещества будет определяться разностью концентраций носителей заряда с эффективными массами разных знаков. В [21] для симметричной зоны ( $N \sim (n_+ - n_-)$ ) в пределе  $W < k_0 T$  получены соотношения

$$\alpha \sim (F - 0.5), \quad R \sim (F - 0.5)/F, \quad \omega_p^2 \sim F(1 - F), \quad (7)$$

где  $F = [0, 1]$  — степень заполнения зоны электронами.

Из (7) следует, что при малых отклонениях от  $F = 0.5$  ( $W \leq 0.024$  эВ) большие (на порядок) изменения  $R$ ,  $n^*$  и  $\alpha$  соответствуют малые изменения  $F(1 - F)$ , т. е. практически неизменная плазменная частота.

Согласно расчетам  $E_F < 2W \sim 2$  эВ [13], откуда следует, что валентная зона в  $\text{Cu}_{2-x}\text{Se}$  не является узкой, соответственно теория [21] к материалу неприменима.

При объяснении соотношения  $w_{\min}(p) = \text{const}$  мы обратили внимание на то, что: 1) указанная зависимость наблюдается только в двухфазной области ( $\alpha + \beta$ ) (рис. 3, кривая 2); 2) расчетные значения величин  $\gamma$  в образцах с  $x = 0.05 - 0.15$  явно завышены (см. таблицу), что указывает на заниженные значения  $t_c$ , полученные в процессе расчетов. В двухфазной области ( $\alpha + \beta$ ) образцы состоят из смеси  $\alpha$ - и  $\beta$ -фаз, имеющих различный состав ( $x = 0.05$  и  $0.20$ ) и различную концентрацию дырок ( $p = 1$  и  $4 \cdot 10^{21} \text{ см}^{-3}$  соответственно) (рис. 1). Путем модельных расчетов нами было показано, что экспериментальные спектры отражения образцов, лежащих в двухфазной области ( $\alpha + \beta$ ) ( $x = 0.05 - 0.20$ ), не совпадают со спектрами отражения, рассчитанными путем суперпозиции спектров  $\alpha$ - ( $x = 0.05$ ) и  $\beta$ - ( $x = 0.20$ ) фаз. Поэтому мы предположили, что поверхностным состоянием всех образцов с  $x = 0.05 - 0.20$  являлось  $\beta$ -состояние ( $x = 0.20$ ). Используя при расчетах  $t_c$  для образцов с  $x = 0.05 - 0.20$  единую «поверхностную» концентрацию дырок  $p = 4 \cdot 10^{21} \text{ см}^{-3}$ , получаем зависимость  $t_c = f(p)$ , имеющую обычный для вырожденных полупроводников вид (рис. 2, кривая 2). При этом значение параметра  $\gamma$  (см. таблицу) сплавов уменьшилось до значений, согласующихся с величинами подвижностей дырок в образцах (отмечены звездочками). Соответствующая обработка данных [15] в области  $p \geq 2 \cdot 10^{20} \text{ см}^{-3}$  была получена в [15] путем экстраполяции данных работы к значению  $t = 1.1t_0$  (точка 3), определенному в [18] из величины  $E_F$  и по смыслу соответствующему  $t_d$ . Заметим, что такая экстраполяция не является обоснованной.

Ранее предположение о возможном поверхностном суперионном  $\beta$ -состоянии образцов  $\text{Cu}_{2-x}\text{Se}$  было высказано в работе [22]. Результаты настоящей работы подтверждают это предположение.  $\beta$ -фаза на поверхности  $\text{Cu}_{2-x}\text{Se}$ , видимо, может возникать как спонтанно, в результате перераспределений подвижной меди в приповерхностной области (характерное время процесса при толщине поверхностной пленки  $d = 100$  мкм, согласно нашей оценке, не превышает  $t \sim \tau = d^2/\pi^2 D \sim 1$  с при коэффициенте диффузии подвижной меди в образцах  $D \sim 10^{-4} \text{ см}^2/\text{с}$  [5]), так и образовываться в процессе шлифовки поверхности образцов перед измерениями. Последняя операция являлась принципиально необходимой для использованной в работе методики оптических измерений, так что однозначно определить причину поверхностного  $\beta$ -состояния образцов  $\text{Cu}_{2-x}\text{Se}$  в двухфазной области ( $\alpha + \beta$ ) не представлялось возможным.

**Эффективная масса плотности состояний  $t_d$ .** Концентрационная зависимость термоэдс  $\alpha$  представлена на рис. 3, кривая 1. Полученная зависимость отклонялась от соответствующей зависимости для стандартной зоны  $\alpha \sim p^{-2/3}$ , при  $p > 2 \cdot 10^{21} \text{ см}^{-3}$  наблюдали существенное уменьшение  $\alpha$  при переходе образцов в  $\beta$ -фазу. В области ( $\alpha + \beta$ ) экспериментальные значения  $\alpha$  находились в удовлетворительном согласии с расчетными (пунктир), найденными исходя из объемного содержания фаз с помощью соотношения  $\alpha = (\Sigma \alpha_i \sigma_i t_i)/(\Sigma \sigma_i t_i)$ ,  $i = 1, 2$ ; при  $\alpha_1(x = 0.05) = 52$  мкВ/К;  $\sigma_1(x = 0.05) = 180$  См/см;

$\sigma_2(x = 0.2) = 590$  См/см, причем объемное содержание фаз в образцах определяли по правилу рычага. Таким образом, эффект отрицательной непарabolicности  $m_d$  в образцах  $\text{Cu}_{2-x}\text{Se}$  (рис. 2, кривая 1) не связан с вкладом поверхностного  $\beta$ -состояния образцов в области  $(\alpha + \beta)$ , а объясняется уменьшением величины  $\alpha$  при переходе в  $\beta$ -фазу (рис. 3, кривая 1).

Обсудим теперь соотношение  $m_d \gg m_c$ , наблюдаемое в  $\text{Cu}_{2-x}\text{Se}$  (рис. 2). Существенное различие эффективных масс  $m_d$  и  $m_c$  в ряде материалов (PbTe, GeTe,  $\text{Bi}_2\text{Te}_3$  и др.) обычно объясняют многоэллипсоидальностью зонной структуры с помощью соотношения (1) [19, 20]. Согласно расчетам [23], экстремум валентной зоны  $\text{Cu}_{2-x}\text{Se}$  лежит в точке Г зоны Бриллюэна ( $N = 1$ ), соответственно многоэллипсоидальность поверхности Ферми  $\text{Cu}_{2-x}\text{Se}$  может быть связана с тем, что в действительности экстремумы несколько смещены от точки Г и их число увеличено за счет требований симметрии. Поскольку соотношение (1) при  $K = 1$  дает  $N \sim 8$  для  $p^* = 0.2 \cdot 10^{21} \text{ см}^{-3}$ , можно предположить, что экстремумы смещены по направлениям [111] ( $N = 8$ ). Уменьшение  $\alpha$  при  $x > 0.1$  (рис. 3, кривая 1) и соотношение  $m_d \rightarrow m_c$  при  $p^* = 0.2 \rightarrow 1 \cdot 10^{21} \text{ см}^{-3}$  (рис. 2, кривые 1 и 6) могут быть связаны с слиянием отдельных эллипсоидов в единую поверхность Ферми и ее последующим округлением при заполнении зоны.

Таким образом, кривые 1 и 6 на рис. 2 представляют собой истинные концентрационные зависимости  $m_d$  и  $m_c$  в суперионном  $\text{Cu}_{2-x}\text{Se}$ , согласующиеся между собой в рамках соотношений зонной теории, что подтверждает применимость последней к указанному материалу. В то же время из настоящей работы следует, что поверхностные и объемные свойства образцов суперионного проводника  $\text{Cu}_{2-x}\text{Se}$  в двухфазной области  $(\alpha + \beta)$  могут существенно различаться, что, видимо, необходимо учитывать при проведении оптических измерений и для других СИП.

### Список литературы

- [1] Физика суперионных проводников, под ред. М.Б. Саламона (Рига, Зинатне, 1982) с. 316.
- [2] В.Н. Гуревич. Твердые электролиты (М., Наука, 1992) с. 200.
- [3] В.Н. Чеботин. Химическая диффузия в твердых телах (М., Наука, 1989) с. 208.
- [4] В.В. Горбачев. Полупроводниковые соединения  $\text{A}_2^I\text{B}^{IV}$  (М., Металлургия, 1980) с. 132.
- [5] М.А. Коржуев. ФТТ, 31, 25 (1989); 34, 1204 (1992).
- [6] A. Milat, Z. Vicic, B. Ruscic. Sol. St. Ionics, 23, 37 (1987).
- [7] Н.Х. Абрикосов, В.Ф. Банкина, М.А. Коржуев, Г.К. Деменский, О.А. Теплов. ФТТ, 25, 2911 (1983).
- [8] М.А. Коржуев, В.Ф. Банкина, Б.Ф. Грузинов, Г.С. Бушмарина. ФТП 23, 1545 (1989).
- [9] М.А. Коржуев, В.Ф. Банкина, Б.А. Ефимова, Н.Н. Филипович. ФТП, 24, 805 (1990).
- [10] Н.Б. Брандт, С.М. Чудинов. Энергетические спектры электронов и фононов в металлах (М., Изд-во МГУ, 1980) с. 341.
- [11] К. Као, В. Хуанг. Перенос электронов в твердых телах (М., Мир, 1984) ч. I, с. 350; ч. 2, с. 368.
- [12] Н. Мотт, Э. Девис. Электронные процессы в некристаллических веществах (М., Мир, 1982) с. 633.
- [13] М.А. Коржуев. ФТТ, 35, 3043 (1993).

- [14] М.А. Коржуев, А.В. Лаптев. Неорг. матер. **29**, 1462 (1993).
- [15] V.V. Gorbachev, I.M. Putilin. Phys. St. Sol. (b), **16**, 553 (1973).
- [16] М.А. Коржуев, А.В. Лаптев. ФТП, **20**, 828 (1986).
- [17] А.А. Восканян, П.Н. Инглизян, Я.М. Шевченко, Т.Б. Шмаков. ФТП, **14**, 804 (1980).
- [18] Г.В. Abdullaev, Z.A. Aliyarova, G.B. Asadov. Phys. St. Sol., **21**, 461 (1967).
- [19] Ю.И. Уханов. *Оптические свойства полупроводников* (М., Наука, 1977) с. 368.
- [20] Н.А. Lyden. Phys. Rev. A, **135**, 514 (1964).
- [21] Н.В. Агеев, Е.В. Владимирская, В.Э. Гасумьянц, В.И. Кайданов, А.В. Чугреев. ФТТ, **36**, 1013 (1994).
- [22] Б. Венгалис, К. Валастка, Н. Широков, В. Ясутис. ФТТ, **28**, 2675 (1986).
- [23] E.J.D. Garba, R.L. Jacobs. Physica, **138** (B+C), 253 (1986).

Редактор В.В. Чалдышев

## On the valence band negative non-parabolicity in $\text{Cu}_{2-x}\text{Se}$ superionic conductor

*M.A. Korzhuev, A.V. Laptev*

A.A. Baikov Institute for Metallurgy, Russian Academy of Sciences,  
117911 Moscow, Russia

By the reflectance and Seebeck coefficient measurement technique the conductivity effective mass  $m_c$  and density of state one  $m_d$  in copper selenide  $\text{Cu}_{2-x}\text{Se}$  crystals were re-measured at the superionic phase transition  $\alpha \rightarrow \beta$  ( $T_c = 291-413$  K). The unusual negative unparabolicity of  $m_c$  earlier observed by Gorbachev and Putilin (1973) in  $\text{Cu}_{2-x}\text{Se}$  ( $dm_c/dp < 0$ ,  $p$  is hole density) was explained for the first time by taking into account the phase transformation  $\alpha \rightarrow \alpha + \beta \rightarrow \beta \rightarrow \beta + \text{Cu}_3\text{Se}_2$  that occurs in crystals at room temperature.

---